

規則的凹凸をもつ連續性節理面の強度的性質

埼玉大学理工学部

吉井龍之進

横浜市交通局

萩野 幸男

白石基謙大

新井 一芳

1. まえがき

岩盤の安定問題を考えると、岩盤は構成する岩石の強度的性質に由るべく節理面の役割りを重視し、斜面その他岩盤の破壊面と觀察して見りたる系列⁽¹⁾は「軟弱系列」の節理面が組合れて、その主要部を構成するのが一般である。このうち凹凸性をもつて節理面の強度はその形状、面の厚さ抵抗および岩石の力学的性質に主として影響されるよう。節理面の形状に関する例を図-1に示す。幾何学的な形状を有する節理強度の研究は Patten,⁽²⁾ Lajetai,⁽³⁾ Ladanyi,⁽⁴⁾ 他によつておこなわれたが、本文の節理面が規則正しく凹凸をもつ場合の力学的性質について、3軸圧縮試験によつておこなったモデル研究の結果を述べる。

2. 実験方法および実験材料

円柱供試体(直径50mm, 高さ10cm.)中に内柱軸から30°の角度に節理面を設け(以下これをβ面と呼ぶ)、この面上に種々の突起をつけた。図-2。供試体のβ面と上下に完全に分離する。供試体の作成方法不真鍮の丸棒(直径50mm)に所要の凹凸面を切削し、この型で直径50mmのモルタル中に入れ実験材料を流し込んで供試体の片側を作成。こうして出来た供試体を型とく離の操作を施せば、少く強化してから両者を分離して養生する。節理面のモデルは表-1のとおりである。

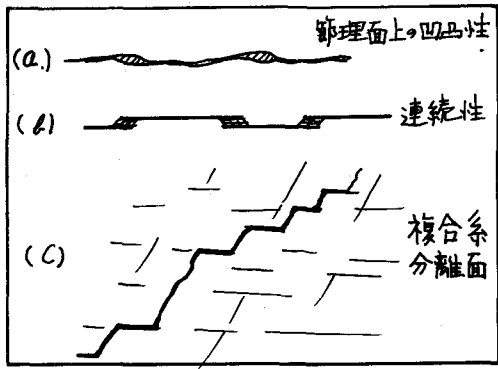


図-1 連續性節理面の形状

表-1. 実験種目およびモデル節理の形状

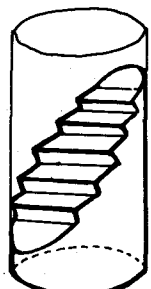
(実験A) 突起の角度αの影響	(実験B) 突起の分割数Nと突起高さhの影響	※図-7(a)参照
	(B-1)	(B-2)
$\alpha_0 : 0^\circ, 15^\circ, 30^\circ, 45^\circ, 60^\circ$	$\alpha_0 : 60^\circ$ (-定)	$\alpha_0 : 60^\circ$ (-定)
形状: 3角形	$N : 3, 5, 7, 9$	$N : 9$ (-)
$N : 5$	$h : 5\text{mm}$ (-定)	$h : 1, 2, 3, 5\text{mm}$
$h : 2.5\text{mm}$ (15°), $4\sim 5$ ($30^\circ \sim 60^\circ$)	$h : 1/0.85$ (-)	$h : 1/0.85$ (-定)
$k : 1/0.03$ (-定)		

**
β面上の比率
(実験部面積)
(節理部面積)

図-2.

実験材料は硬質石膏およびモルタル(早強ポルトランドラムセメント、豊浦標準砂)でその力学的性質(実験A)はつる石膏[-軸圧縮強さ $8u 230\text{kg/cm}^2$, 弾性率 $E 72000\text{kg/cm}^2$, $W_P 0.6$, 50°C 24時間恒温乾燥], モルタル [$8u 210\text{kg/cm}^2$, 压密: σ_3 引張強さ $S_c 27$, 变動弾性率(24h) $U = 8.8\%$], 実験Bはつる石膏 [$8u 196\text{kg/cm}^2$, $S_c 33\text{kg/cm}^2$, $W_P = 2/3$, 60°C 24時間乾燥]である。

実験(B)図-2の供試体は「G-Sリーフ」、通常の液圧方式の側圧を最大 100kg/cm^2 まで加えた。軸荷重は 1210kg/cm^2 の程度である。



3.1. (実験A)の結果

供試体の破壊の大部分のものがB面に節理面上に上りあつて凹凸部でせん断して生じた。 $i=60^\circ$ の意角度のものでは上記の破壊に凹凸端から走る縦方向のひずみ割れを生じたのである。破壊面を観察すると $i=0^\circ, 15^\circ$ の場合、節理面上に上ったのがわかる。 $i=30^\circ$ 以上になると実質部でせん断されるのが

図-3. 応力-変位曲線

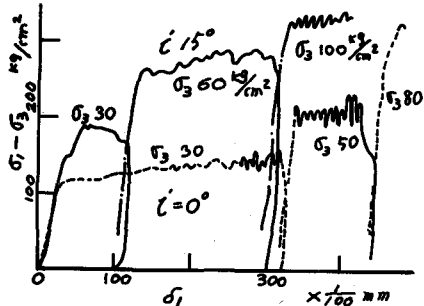


図-4. 応力-変位曲線 図-5. 応力-変位曲線

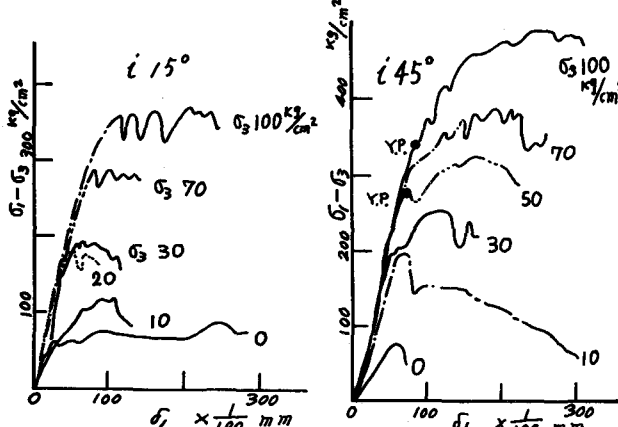
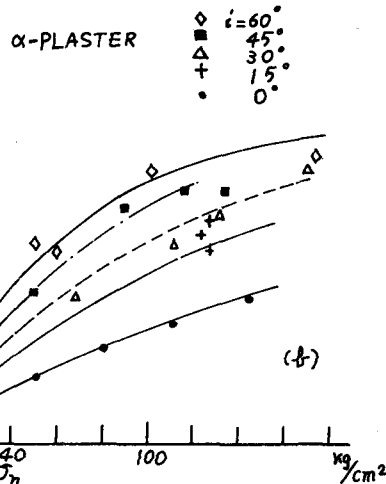
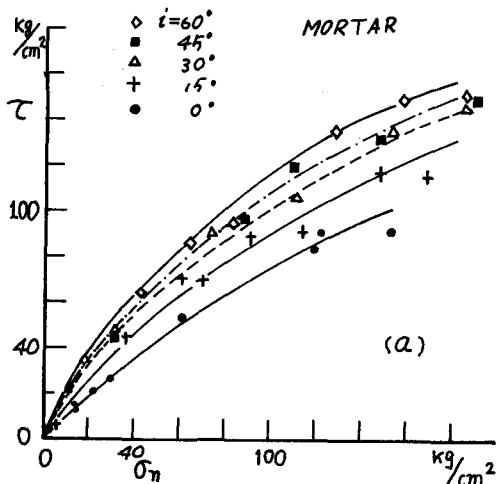


図-6. せん断特性



現わる 60° の場合の完全な実質部を切る。

このような破壊形式上の特徴は供試体の軸方向変位と応力の関係によく現われる。すなはち

節理面上工上3場合(図-3, 4)にみられるようないずれかの变形が急にフラットになり変位を生じさせるとんどん応力が一定値に亘る。ただし面上工上3場合ともどの大きさにあり拳動が多少とも「高」応力での挾撲運動(shear-slip)となり遅延変形と一定値に亘る。

B面が実質部のせん断破壊で伴う場合(図-5)にみられるよう2つの部分からなる。すなはち明瞭な降伏点を生じて後、変位をともなう応力を漸次上昇しビーカーに達する。Y.P.点はB面上に破壊面が発生し以後はこの面におけるせん断によって示すと示す。

節理を含まない供試体の場合には明瞭なY.P.点はなく塑性変形がスムーズに降伏を始めビーカーに至る。 $i=60^\circ$ 、および 45° はおもに $\sigma_3 = 100 \text{ kg/cm}^2$ の場合の上記と同様の変形曲線を示す。

表-2. 実験結果

突出部傾斜角 $i = \frac{d\sigma}{d\alpha_m}$	正ILとIL						X面					
	C	K	$\left\{ \frac{d\sigma}{d\alpha_m} \right\}$	L'	L''	$\tan(\frac{\pi}{m})$	C	K	$\left\{ \frac{d\sigma}{d\alpha_m} \right\}$	L'	L''	$\tan(\frac{\pi}{m})$
$i_0 = 60^\circ$	0.69	5.10	$3.50m^{0.91}$	70°	60°	68°	0.72	4.38	$3.20m^{0.28}$	69°	59°	67°
$i_0 = 45^\circ$	0.69	4.30	$3.00m^{0.91}$	66°	56°	64°	0.75	3.20	$2.40m^{0.25}$	64°	54°	61°
$i_0 = 30^\circ$	0.66	4.80	$3.20m^{0.94}$	68°	57°	66°	0.74	2.73	$2.00m^{0.26}$	60°	49°	57°
$i_0 = 15^\circ$	0.71	3.50	$2.50m^{0.99}$	64°	53°	61°	0.80	1.80	$1.50m^{0.20}$	54°	43°	49°
$i_0 = 0^\circ$	0.82	1.73	$1.40m^{0.18}$	50°	43°	49°	0.81	1.24	$1.00m^{0.19}$	41°	33°	38°

破壊応力時におけるB面上の平均値応力 $\bar{\sigma}_m$ と同せん断応力 $\bar{\tau}$ との関係を図-6に示す。各点は“”で
丸を曲線上にあり、両対数軸上に一本の直線を作った。この関係は(1)式で表示される。

$$\bar{\tau} = K \bar{\sigma}_m^C \quad \dots \dots \dots (1)$$

この式より C を求める各 i_0 に対する定数 K 、 C を表-2に示した。

3.2. 実験A: 関係考察

図-6は $\bar{\tau} - \bar{\sigma}_m$ における i_0 の影響と β と ϕ_f との関係。 $i_0 > 30^\circ$ 以上、 β と ϕ_f が大きくなる場合、
破壊面傾斜面上における $\bar{\tau}$ は i_0 の効果がみられず。 $i_0 < 30^\circ$ では β と ϕ_f の影響を考慮すべき。

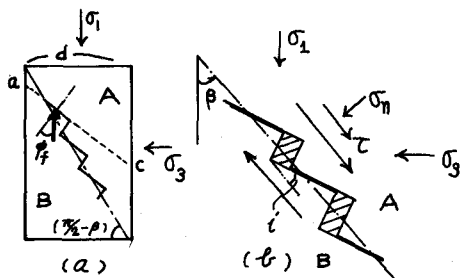


図-7. 破壊モデル

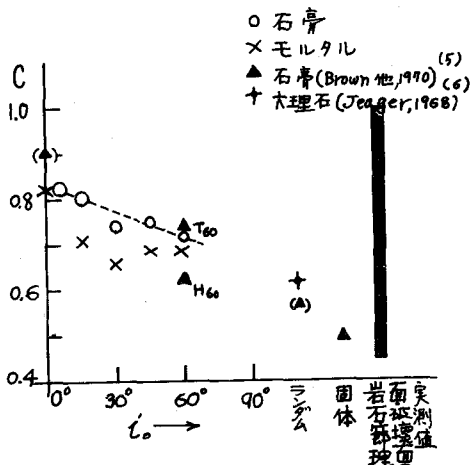
図-8. i_0 と定数 C

図-7は図-2と同様のモデル Z 、作用する力関係を示す。図-7(a)のモデルは 3 軸応力下 Z の砂のせん断問題のモデルと $L2$ Rouse^(a)地盤構成したときに同じである。プロック A は \overline{AC} 上で i_0 を有し、上り面のケーロンの内部摩擦角を ϕ_f とすと応力のバランスから

$$(\sigma_1/\sigma_3)_f = \cot\beta \cdot \tan(\phi_f + \beta + i_0) \quad \dots \dots \dots (2)$$

また、各主応力方向の変位量 δ_1, δ_3 、 $S_3 = \delta_3 \tan(\beta + i_0)$ である。供試体は(2)式のようになるとき内部の空隙を V 体積が変化する。 V 全体と $L2$ の体積が等しい、

$$(1 - dV/dE_1) = \cot\beta \cdot \tan(\beta + i_0) \quad \dots \dots \dots (2)$$

$$Z = \frac{(1 - dV/dE_1) \tan\beta + \tan(\phi_f + \beta)}{1 - (1 - dV/dE_1) \tan\beta \cdot \tan(\phi_f + \beta)} \quad \dots \dots \dots (3)$$

以上の考察は β 面と主方向割れ面ととの差の強度 E 、割れ目は基準 $<$ 体積変化($dV < 0$ 膨胀)との関係を説明する。 dV は生ずる原因が单一の i_0 であれば(3)式(2)式のようになる。

$$Z = \tan(\phi_f + i_0) / \bar{\sigma}_m \quad \dots \dots \dots (4)$$

(4)式は一面せん断試験^(b)“Patten”が導いた式と等しい。図-6の関係を i_0 に基づく効果を $L2$ 、 i_0 で説明 $L2$ と i_0 と β と ϕ_f と i_0 の関係(1), (2)式から

$$i_0 = \tan^{-1}(K \bar{\sigma}_m^{C-1}) - \phi_f \quad \dots \dots \dots (5)$$

$\lambda_0 = 0^\circ$ の場合と $\lambda_0 = \theta$ 一定の二種類の結果が得られた。節理面の粗さ、 D_m の大きさなどから多くが場合一定である。本実験は $\lambda_0 = 0^\circ$ のエッジ-1 値と残留強度をもつ。同様の現象は岩石力学 ($\lambda = 0^\circ$) の Maurer⁽¹⁾, Hobbs⁽²⁾, Jaeger⁽³⁾ らが求めた式 (1) 式の $C = 0.4 \sim 1.0$ の範囲で見られる。

種々の粗さ λ と $\lambda_0 = 0^\circ$ を用いた C と $\lambda > 0^\circ$ の実測値が同様の傾向を有する = 上の圖解図⁽¹⁾。実験結果の各 $\lambda_0 = 0^\circ$, λ (47/40mm) 等を表すと、また λ_0 と C の関係を図-8 に示す。

4. 実験Bの結果および考察

2. 1°の λ 在 β 面上の分割数 N と突起高さ λ_0 に關する実験結果を 図-9, 10 に示す。前者は実質部面積比 λ と λ_0 一定の一定、後者は λ と N 一定とした。図には $\lambda_0 = 0^\circ$ 在 β 面上のせん断強度、 $N=0$ の節理の τ_0 と試験体 τ_0 のせん断強度を示す。

まず $N=3$ の場合は、突起部の端からひび割れを生じたものが最も多く、分割数が多くなるほど強度が低下する。 $\lambda_0 = 20\%_{\text{mm}}$ の例では τ_0 の平均値の実験式を求めて式(6)式を示す。

$$\tau = \tau_0 (N+1)^{-0.16} \quad \dots \dots \dots (6)$$

(X) は 0.16^2 の $\lambda_0 = 20\%$ の形式の τ_0 の性材料の強度問題は、欠陥数密度の確率分布と λ 取扱いの Weibull 式と同一の形式⁽¹⁾である。このことは、(2)の二種の問題に確率論的处理が可能であることを示す。林⁽¹⁰⁾が斜傾性クラック問題に適用した Frankel-Kontorova 式を図-9(左縦)に適用する場合、変動係数 $N = 0.3$ の場合、 $\lambda < -0.3$ である。

突起高さ λ_0 が増すとせん断強度 (図-10) が λ_0 に増加する。これは直角引張り解釈の検討中である複合節理帶からなる複合層の強度問題と上記の現象⁽¹⁾である。

参考文献

- (1) F.D.Patterson (1966), Proc. 1st. Intern. Congr. ISRMH, I, P509~513.
- (2) E.Z.Lafayette (1968), Int. J. Rock Mech. Min. Sci., vol. 6, P599~515.
- (3) Ladanyi, B. and G. Archambault (1969), Proc. 11th Sympo. Rock Mech. Prog. 125.
- (4) Rowe, P.W., L.Borden and I.K.Lee (1964), Geotechnique, vol. XIV, P247~261.
- (5) E.T.Brown (1970), Proc. American Soc. Civ. Eng., SM6, P1935~1949.
- (6) Rosengren, K.J. and J.C.Jaeger (1968), Geotechnique, 18, P317~326.
- (7) W.C.Maurer (1966), Proc. 1st. Intern. Congr. ISRMH, I, P337~341.
- (8) D.W.Hobbs (1965), Int. J. Rock Mech. Min. sci., vol. 3, P11~43.
- (9) J.C.Jaeger (1969), Proc. 11th Sympo. Rock Mech. P57~68, California.
- (10) 林正夫 (1963), 第2回岩盤力学学術講演会シンポジウム, P6~14.
- (11) 吉中龍之進, 小野寺達 (1970) 第3回岩の力学国内シンポジウム講演集 P.47~51.

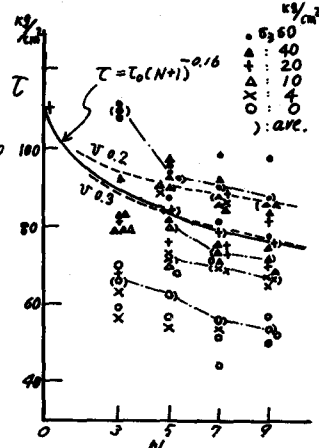


図-9. 分割数と強度

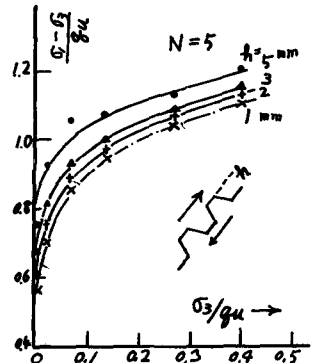


図-10. 突起高さと強度

STRENGTH OF CONTINUOUS JOINT WITH REGULER TEETH

Ryunoshin YOSHINAKA

Yukio HAGINO

Kazuyoshi ARAI

The discontinuities such as joints, bedding planes and other geomechanical defects have one of the most important role for the stability of rock mass.

Closely relating to this problem, studies on strength characteristics of single joint plane with irregularities have been conducted by Patton, Lajetai, Ladanyi, and others, with direct shear method using rock like model, that is, plaster in Paris and mortar.

In this paper, the result of some experiment on strength of joint plane contained regular teeth under triaxial stress condition is described, and maine objects are the effect of inclination angle α , size effect of teeth, on the shearing strength of teeth zone.

The specimen used is 50 mm in dia., and 10 cm in length, shown in Fig. 2, and materials are a high strength plaster in Paris, and high early strength Portland cement.

The geometrical models of joint irregularities are:

inclination angle α : $0^\circ, 15^\circ, 30^\circ, 45^\circ, 60^\circ$

height of teeth h : 1, 2, 3, 5 mm

number of tooth : 3, 5, 7, 9 and 0 (intact)

The summary of result is :

1. Stress-displacement behaviour of jointed sample is characterized by failure mechanism on teeth zone controlled by confining stress, shown in Fig. 4, 5 and 6.
2. Shearing strength T is influenced of initial angle α if failure happened not on slide of teeth, but in teeth material, Fig. 6.

It can be represented by the power law in eq. 1, Table 2, and the exponent c in eq. 1 has the relation with α shown in Fig. 8.

3. The effect of division and height of teeth on shearing strength is drawn, in Fig. 9 and 10.

It may be possible to explain those phenomena using statistical theory by Weibull and other.

4. The shearing strength of jointed mass is conveniently explained by Rowe's concept as shown in Fig. 7, but it is necessary to modify the inclination α by the effect of normal or confining stress, like as eq. 5.

In case of $\alpha \leq \frac{\pi}{2} - (\beta + \gamma)$, failure occurred only by slip on joint plane, this is in agreement with experimental result shown in Table 2, and theoretical consideration, in eq. 2.